

НАПРЯЖЕННО-ДЕФОРМИРОВАННОЕ СОСТОЯНИЕ ГОРНЫХ ПОРОД И ФИЛЬТРАЦИЯ В НЕОДНОРОДНЫХ ПЛАСТАХ*

А. В. КОСТЕРИН, Э. В. СКВОРЦОВ

Казанский государственный университет, Россия

М. М. ТОРОПОВА

НИИ математики и механики им. Н. Г. Чеботарева

при Казанском государственном университете, Казань, Россия

e-mail: marina.toropova@ksu.ru

The method for calculating the pressure field in the rock and well productivity is suggested taking into account the strain of a non-uniform bed and the strained stress state of the enclosing rocks.

Прогнозирование эффективной разработки нефтяных месторождений осуществляется на основе моделирования процессов фильтрации в насыщенных пластах. Повышение адекватности моделей при описании этих процессов требует, в частности, совместного учета деформаций пластов и напряженно-деформированного состояния (НДС) вмещающих их горных пород. В обширной литературе по изучению фильтрации в деформируемых средах этой проблеме посвящено сравнительно небольшое число исследований [1–14]. В указанных работах анализ фильтрации в пласте под действием скважины и НДС горных пород проводился в осесимметричной постановке. В частности, в [12] построен интегральный оператор, связывающий деформации пласта в толще горных пород и давление в нем. Это дало возможность существенно упростить анализ фильтрационного течения в пласте и свести его к решению задачи Коши для нелинейного дифференциального уравнения в частных производных параболического типа с коэффициентами, зависящими от упомянутого оператора [12, 13].

Известные результаты позволяют решать лишь модельные задачи и неприменимы для исследования широкого класса задач, представляющих практический интерес. К ним относятся, например, задачи фильтрации под действием системы скважин и фильтрации в пласте с переменным по его простиранию модулем упругости. В связи с этим ниже на основе развития подхода, данного в [12, 13], предложен метод расчета поля давления и продуктивности скважины при учете деформаций пласта и НДС горных пород, когда распределение давления в пласте двумерно, а модуль упругости его скелета слабо меняется

*Работа выполнена при финансовой поддержке Российского фонда фундаментальных исследований, грант №96–01–00155.

© А. В. Костерин, Э. В. Скворцов, М. М. Торопова, 1999.

с изменением координат точки пласта. Следует отметить, что подобная неоднородность нефтяного пласта относительно модуля его упругости тем не менее может привести к существенной перестройке поля насыщенности при двухфазной фильтрации.

С использованием двумерного преобразования Фурье построен новый интегральный оператор для нахождения деформаций пласта по известному распределению давления в нем. Включение этого блока в технологию вычислений обеспечивает ее эффективность.

Метод проиллюстрирован решением двух конкретных задач; в качестве теста использовано известное решение соответствующей задачи в осесимметричной постановке.

1. Постановка задачи о деформациях

Рассмотрим горизонтальный пористый насыщенный жидкостью пласт мощностью h , залегающий в толще горных пород на глубине H и пробуренный скважиной. Введем декартову систему координат (x, y, z) , где ось z совпадает с осью скважины. Плоскость $z = H$ перпендикулярна направлению силы тяжести и совпадает со свободной поверхностью. Плоскость $z = 0$ совместим со срединной плоскостью пласта (рис. 1).

Будем считать пласт тонким ($h \ll H$) и учитывать его деформации лишь в вертикальном направлении. При таком подходе система порода — пласт моделируется однородным упругим полупространством, ограниченным плоскостью $z = H$, с разрезом, верхняя и нижняя границы которого есть соответственно плоскости $z \rightarrow +0$ и $z \rightarrow -0$ [2]; указанное полупространство характеризуется коэффициентом Пуассона ν и модулем Юнга E .

Далее при исследовании НДС горных пород будем оперировать приращениями интересующих нас величин относительно состояния пласта с постоянным давлением в нем.

Вектор перемещения \mathbf{u} удовлетворяет уравнению Ляме

$$L\mathbf{u} \equiv \text{grad div } \mathbf{u} - \frac{1 - 2\nu}{2(1 - \nu)} \text{rot rot } \mathbf{u} = 0. \quad (1)$$

Граничные условия имеют вид [2]

$$\sigma_z = \tau_{xz} = \tau_{yz} = 0 \quad (z = H), \quad (2)$$

$$[\sigma_z] = [\tau_{xz}] = [\tau_{yz}] = 0, \quad [u_x] = [u_y] = 0 \quad (z = 0), \quad (3)$$

$$\sigma_z = c[u_z] - p \quad (z = 0). \quad (4)$$

Здесь квадратные скобки означают скачок переменной на разрезе, $\sigma_z, \tau_{xz}, \tau_{yz}$ — компоненты тензора напряжений, u_z, u_x, u_y — компоненты вектора перемещений \mathbf{u} , $c = E_1/h$, E_1 —

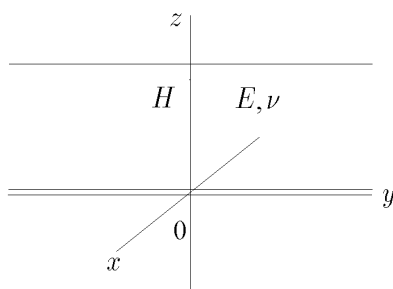


Рис. 1.

модуль Юнга скелета пласта, $p = p(x, y)$ — давление в пласте, которое подразумевается известным. Напряжения связаны с деформациями законом Гука.

Назовем краевую задачу (1)–(4) “внешней” по отношению к задаче фильтрации в пласте. Ее решение позволяет связать деформации пласта с изменением давления в нем.

2. Разложение по малому параметру

Предположим, что модуль Юнга пласта E_1 может быть представлен в виде

$$E_1 = E_0(1 + \delta e(x, y)), \quad \delta e(x, y) \ll 1, \quad E_0 = \text{const}, \quad (5)$$

где $e(x, y)$ — функция, описывающая неоднородность пласта, δ — малый параметр.

Разложим перемещение u_z и напряжение σ_z по малому параметру δ :

$$u_z = u^0 + \delta u^1, \quad \sigma_z = \sigma^0 + \delta \sigma^1. \quad (6)$$

Величины u^0, σ^0 будем называть основными, а величины u^1, σ^1 — их возмущениями.

Применяя оператор L к перемещению u_z , получим

$$Lu_z = L(u^0 + \delta u^1) = Lu^0 + \delta Lu^1 = 0,$$

и следовательно

$$Lu^0 = 0, \quad (7)$$

$$Lu^1 = 0. \quad (8)$$

Из (4), (6) следует

$$\sigma^0 + \delta \sigma^1 = \frac{E_0(1 + \delta e(x, y))}{h} [u^0 + \delta u^1] - p.$$

Поэтому

$$\sigma^0 = \frac{E_0}{h} [u^0] - p, \quad (9)$$

$$\sigma^1 = \frac{E_0}{h} [u^1] + \frac{E_0}{h} [u^0] e(x, y). \quad (10)$$

Соотношения (9), (10) показывают, что структуры внешней задачи для возмущений и основных величин совпадают, причем в задаче (8), (10) роль p играет комплекс $-[u^0]e(x, y)E_0/h$.

3. Решение внешней задачи

Внешнюю задачу для полупространства с разрезом удобно разбить на две задачи: для слоя $0 < z \leq H$ и для полупространства $-\infty < z < 0$.

Постановка первой из них такова: найти решение уравнения (1) в области $0 < z \leq H$ с граничными условиями (2) и условием $\sigma_z = \sigma^*(x, y)$ при $z \rightarrow +0$, где функция $\sigma^*(x, y)$ считается известной.

Вторая заключается в следующем: найти решение уравнения (1) в области $-\infty < z < 0$ с граничными условиями $\sigma_z = \sigma^*(x, y)$ при $z \rightarrow -0$; $\mathbf{u} \rightarrow 0$ при $z \rightarrow -\infty$.

Обе задачи решаются с применением двумерного преобразования Фурье по координатам [16]. Полученные решения связываются одно с другим с помощью еще не использованных граничных условий (3) и условия (4).

Так как касательные напряжения на разрезе пренебрежимо малы по сравнению с напряжениями в поперечном направлении, то с учетом (3) и в соответствии с результатами, изложенными в [16], имеем

$$(u_z)_f^{(i)} = F_i(\alpha)\sigma_f^*, \quad i = 1, 2,$$

где нижний индекс f означает трансформанту Фурье соответствующей величины, $\alpha = \sqrt{\alpha_1^2 + \alpha_2^2}$, α_1, α_2 — параметры преобразования Фурье, $F_i(\alpha)$ — известные функции [16], $i = 1$ отвечает задаче для слоя, $i = 2$ — задаче для полупространства.

Тогда трансформанта скачка вертикального перемещения на разрезе запишется в виде

$$[u_z]_f = F(\alpha)\sigma_f^*, \quad (11)$$

где $F(\alpha) = F_1(\alpha) - F_2(\alpha)$.

При $F(\alpha_1, \alpha_2) \equiv F(\alpha)$ двумерное интегральное преобразование Фурье совпадает с интегральным преобразованием Ханкеля, и для нахождения функции F , как и в осесимметричной задаче, можно использовать представление Папковича — Нейбера [16].

Далее будем считать, что пласт глубокозалегающий и отношение R/H (R — характерный размер пласта в плане) много меньше единицы. Полагая $H \rightarrow \infty$ и используя решение осесимметричной задачи [12], найдем, что $cF(\alpha) = -a/\alpha$, где $a = 4R(1 - \nu^2)E_0/(Eh)$.

Для решения внешней задачи остается выполнить условия (9) и (10).

Полагая $\sigma^* = \sigma^0$, найдем в изображениях

$$\sigma_f^0 = \frac{p_f(\alpha_1, \alpha_2)}{cF(\alpha) - 1},$$

или

$$c[u^0]_f = p_f(\alpha_1, \alpha_2) \frac{cF(\alpha)}{cF(\alpha) - 1} = p_f(\alpha_1, \alpha_2)G(\alpha), \quad (12)$$

где

$$G(\alpha) = \frac{cF(\alpha)}{cF(\alpha) - 1} = \frac{a}{\alpha + a}.$$

Обратное двумерное преобразование Фурье, примененное к осесимметричной функции $G(\alpha)$, совпадает с обратным преобразованием Ханкеля. Обозначим через $g(x, y)$ оригинал для G . Тогда [15]

$$g(x, y) = \frac{a}{r} - a^2 \frac{\pi}{2} [\mathbf{H}_0(ra) - Y_0(ra)],$$

где $r = \sqrt{x^2 + y^2}$, \mathbf{H}_0 — функция Струве, Y_0 — функция Неймана.

Возвращаясь в (12) к оригиналам, получим выражение для скачка вертикального перемещения на разрезе:

$$\begin{aligned} [u^0(x, y)] &= \frac{1}{2\pi c} \int_{-\infty}^{\infty} \int_{-\infty}^{\infty} p(\xi, \eta)g(x - \xi, y - \eta)d\xi d\eta = \\ &= \frac{1}{2\pi c} \int_{\bar{\Omega}} p(\xi, \eta)g(x - \xi, y - \eta)d\xi d\eta = \frac{1}{c}p(x, y) * g(x, y), \end{aligned} \quad (13)$$

где $\bar{\Omega}$ — область, ограниченная контуром питания, а символом $*$ обозначена свертка двух функций. Функция $g(x, y)$ является ядром интегрального оператора, связывающего деформации пласта с давлением в нем.

Для возмущений аналогично находим

$$[u^1]_f = F(\alpha)\sigma_f^1. \quad (14)$$

Подставляя (14) в (10), в изображениях будем иметь

$$\sigma_f^1 = \frac{[p_f(\alpha_1, \alpha_2)G(\alpha)] * e_f(\alpha_1, \alpha_2)}{cF(\alpha) - 1},$$

или

$$c[u^1]_f = -[p_f(\alpha_1, \alpha_2)G(\alpha)] * e_f(\alpha_1, \alpha_2)G(\alpha).$$

Возвращаясь к оригиналам, получим

$$[u^1(x, y)] = -([p(x, y) * g(x, y)]e(x, y)) * g(x, y)/c. \quad (15)$$

Скачок общего перемещения $[u_z]$ можно найти с помощью формулы (6) и представлений (13), (15).

Заметим, что соотношение (13) имеет самостоятельное значение, поскольку дает решение внешней задачи для однородного пласта при неосесимметричном распределении давления в нем, что обобщает результаты работы [12].

4. Решение внутренней задачи

При моделировании фильтрации жидкости под действием скважины, следуя [12, 13], будем полагать, что проницаемость K есть функция его поперечной деформации $\varepsilon = [u_z]/h$. Предлагаемый подход позволяет решать задачу при произвольном числе скважин. Ниже для простоты рассматривается случай одиночной скважины.

Пусть Ω — двусвязная область в плоскости пласта, ограниченная контуром скважины Ω_i и контуром питания Ω_e .

Фильтрация однородной сжимаемой жидкости в пласте описывается системой, состоящей из нелинейного дифференциального уравнения в частных производных

$$\frac{\partial}{\partial x} \left[K(\varepsilon) \frac{\partial p(x, y, t)}{\partial x} \right] + \frac{\partial}{\partial y} \left[K(\varepsilon) \frac{\partial p(x, y, t)}{\partial y} \right] = \frac{1}{\kappa} \frac{\partial p(x, y, t)}{\partial t} \quad (x, y) \in \Omega \quad (16)$$

и интегрального соотношения

$$\varepsilon = \varepsilon(p), \quad (17)$$

где интегральный оператор $\varepsilon(p)$, связывающий деформации с давлением в пласте, построен в предыдущем пункте, κ — коэффициент пьезопроводности, t — время.

Начальные и граничные условия примем в виде

$$\begin{aligned} p(x, y, 0) &= 0, & (x, y) \in \Omega, \\ p(x, y, t) &= p_0, & (x, y) \in \Omega_i, \\ p(x, y, t) &= 0, & (x, y) \in \Omega_e. \end{aligned} \quad (18)$$

Краевая задача (16)–(18), (6), (13), (15) решалась методом конечных элементов в сочетании с методом итераций. Область Ω покрывалась прямолинейными треугольными конечными элементами с шестью узлами: тремя в вершинах треугольника и тремя в серединах его сторон [17]. Давление внутри каждого элемента представлялось квадратичной функцией координат.

В результате стандартной процедуры метода конечных элементов уравнение (16) приводилось к матричному виду

$$\mathbf{K}p + \mathbf{C} \frac{dp}{dt} = 0,$$

где \mathbf{K} , \mathbf{C} — глобальные матрицы задачи, \mathbf{K} определяется дифференциальным оператором в левой части (16), \mathbf{C} — правой частью (16).

Интегрирование по времени проводилось по неявной схеме с центральной разностью Кранка — Николсона

$$\left(\frac{\mathbf{C}}{\Delta t_n} + \frac{1}{2} \mathbf{K} \right) p^{n+1} + \left(-\frac{\mathbf{C}}{\Delta t_n} + \frac{1}{2} \mathbf{K} \right) p^n = 0,$$

где Δt_n — временной интервал.

Предполагалось, что проницаемость пласта $K(x, y)$ экспоненциально зависит от его поперечных деформаций

$$K(x, y) = K_0 \exp[-\beta \varepsilon(x, y)],$$

где β — безразмерный коэффициент пропорциональности, характеризующий чувствительность проницаемости пласта к деформациям.

На нулевой итерации проницаемость $K(x, y)$ выбиралась равной проницаемости K_0 невозмущенного пласта и далее уточнялась на последующих итерациях.

5. Результаты численных расчетов

Для иллюстрации возможностей предлагаемого метода выполнялись расчеты в случае стационарной фильтрации для области $\bar{\Omega}$ в виде круга радиуса R . Начало координат располагалось на расстоянии ζ от его центра и совпадало с центром круга радиуса r_c , соответствующего контуру скважины. Вычисления проводились при значениях $r_c = 0, 1$ м, $R = 100$ м, толщине пласта $h = 10$ м, коэффициенте Пуассона $\nu = 0, 2$.

При реализации метода конечных элементов контуры скважины и питания заменялись правильными многоугольниками. Для сокращения времени счета использовалась неравномерная в радиальном направлении сетка, более густая возле контура скважины. Общее количество узлов в разбиении подбиралось путем сравнения полученных результатов с известными решениями задачи для концентричной скважины [12, 13].

На рис. 2 изображены зависимости продуктивности скважины $q = q/q_0$ (q — расход, q_0 — расход при $K \equiv K_0$) от параметра $\alpha = \beta p_0/E$, причем значения $\alpha > 0$ соответствуют варианту добывающей скважины (рис. 2, а), $\alpha < 0$ — нагнетательной (рис. 2, б). Кривые построены для случая $E_1 = E_0$, $E_1/E = 1$. Сплошная линия отвечает результатам для концентрично расположенной скважины, приведенным в работе [12]. Звездочками помечены значения, полученные с помощью метода, изложенного выше. Пунктирная линия построена для случая расположения скважины с эксцентриситетом $\zeta = 0, 75$, штрихпунктирная — для $\zeta = 0, 9$. Из рисунка видно, что продуктивность скважины повышается с ростом ее эксцентриситета и снижается с ростом перепада давления в пласте.

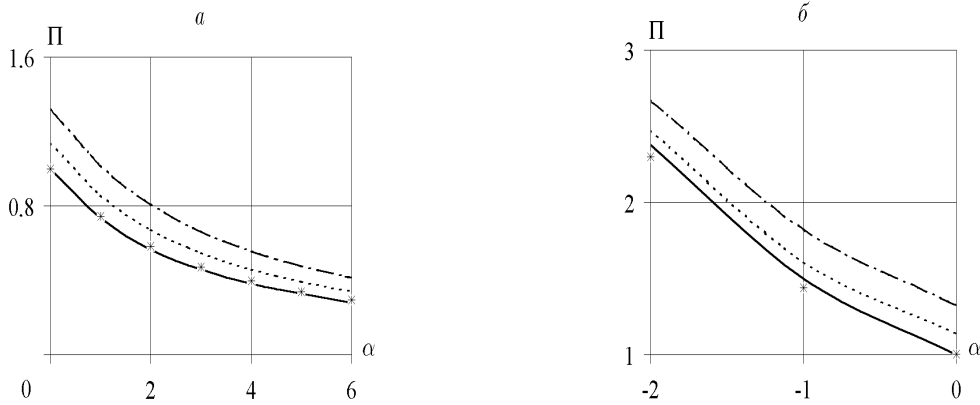


Рис. 2.

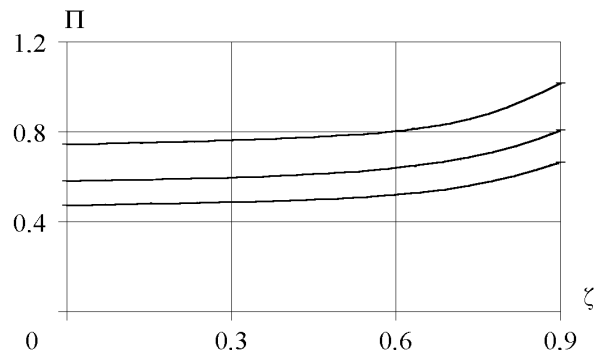


Рис. 3.

Для выбранного разбиения области фильтрации на конечные элементы расхождение с данными работы [12], несколько увеличиваясь в случае закачки, не превосходит 5.5%.

Рис. 3 иллюстрирует зависимость продуктивности скважины от ее эксцентриситета для различных значений α . Верхняя линия соответствует случаю $\alpha = 1$, средняя — $\alpha = 2$, нижняя — $\alpha = 3$.

Определялась также чувствительность продуктивности скважины $Q = (-_0)/\delta$ к возмущению модуля Юнга пласта. Здесь $_0$ — продуктивность скважины в случае совпадения модулей упругости пласта и горных пород. Неоднородность модуля Юнга по простиранию задавалась в виде

$$\epsilon(\bar{x}, \bar{y}) = 10 \exp \left(- \left[\left(\frac{\bar{x} - \bar{d}}{0,125} \right)^2 + \left(\frac{\bar{y}}{10} \right)^2 \right] \right),$$

где $\bar{x} = x/R$, $\bar{y} = y/R$, $\bar{d} = d/R$, а величина d характеризует сдвиг неоднородности модуля Юнга пласта относительно начала координат.

Расчеты проведены для скважины с эксцентриситетом $\zeta = 0.9$ при $E_0/E = 1$ и $\delta = 0.001 \cdot 2\pi$ для трех значений $\alpha = 1, 2, 3$. На рис. 4 приведены кривые зависимости чувствительности проницаемости от параметра \bar{d} . Нижняя кривая соответствует случаю $\alpha = 1$, средняя — $\alpha = 2$, верхняя — $\alpha = 3$. Видно, что чем ближе эпицентр неоднородности модуля Юнга пласта к скважине и чем больше значение α , тем выше чувствительность продуктивности скважины.

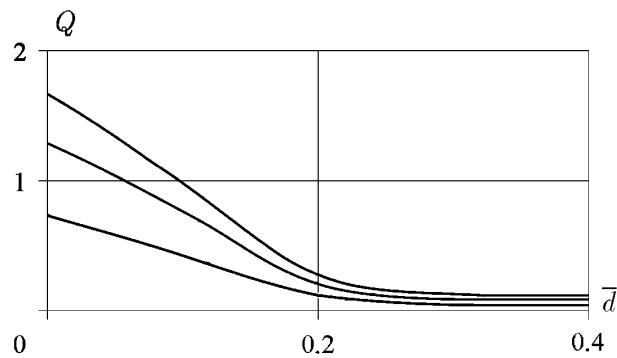


Рис. 4.

Список литературы

- [1] Николаевский В. Н. К изучению нелокальных эффектов при упругом режиме фильтрации в глубинных пластах. *ПМТФ*, №4, 1968, 35–38.
- [2] Ентов В. М., Малахова Т. А. Об изменении напряженно-деформированного состояния горных пород при изменении давления в насыщенном жидкостью пласте. *Изв. АН СССР. МТТ*, №6, 1974, 53–65.
- [3] Ентов В. М., Малахова Т. А., Марморштейн Л. М. Влияние изменения давления в пласте на гидродинамические характеристики соседних с ним пластов. *Изв. ВУЗов. Нефть и газ*, №4, 1977, 63–65.
- [4] Николаевский В. Н., Рамазанов Т. К. Напряженно-деформированное состояние горного массива при нелокально-упругом режиме фильтрации в пласте. *Изв. АН СССР. МТТ*, №3, 1977, 138–141.
- [5] Зазовский А. Ф. О напряженном состоянии насыщенного жидкостью пласта в окрестности эксплуатационной скважины. *Изв. АН СССР. МТТ*, №3, 1980, 111–119.
- [6] Николаевский В. Н., Рамазанов Т. К. Напряженно-деформированное состояние пласта с учетом фильтрации жидкости. *Изв. СО АН СССР. ФТПРПИ*, №5, 1982, 37–49.
- [7] Николаевский В. Н. *Механика насыщенных и трещиноватых сред*. Недра, М., 1984.
- [8] Николаевский В. Н., Рамазанов Т. К. Напряженно-деформированное состояние пласта и восстановление давления в скважине. *Механика деформируемого тела. Прочность и вязкоупругопластичность*. Наука, М., 1986, 94–105.
- [9] LEWIS R. W., SCHREFLER D. A., SIMONI L. Couping versus uncoupling in soil consolidation. *Int. journal for numerical and analytical methods in geomechanics*, **15**, 1991, 533–548.
- [10] Дияшев Р. Н., Костерин А. В., Скворцов Э. В. Влияние деформаций пласта на дебит скважины. *Разработка месторождений нефти и газа: современное состояние*,

проблемы, перспективы: Тр. Всес. школы-семинара 11–16 марта 1991. Т. 1. Звенигород, 1991, 266–270.

- [11] KOSTERIN A. V., SCVORTSOV E. V., KONYUKHOV V. M., DIJASHEV J. R. Rocks and layers deformation impact on productive characteristics of well. *Int. Conf. Problems of Complex Development and Production of Hard-Accessible Oils and Natural Bitumens: Proc. Oct. 4–8. Vol. 2, Kazan, 1994, 593–602.*
- [12] ДИЯШЕВ Р. Н., КОНЮХОВ В. М., КОСТЕРИН А. В., СКВОРЦОВ Э. В. О продуктивных характеристиках скважины в деформируемом пласте, взаимодействующем с горными породами. *Изв. РАН. МЖГ, №1, 1995, 86–93.*
- [13] ДИЯШЕВ Р. Н., КОНЮХОВ В. М., СКВОРЦОВ Э. В. Нестационарная фильтрация под действием скважины в деформируемом пласте, взаимодействующем с горными породами. *Там же, №1, 1996, 85–90.*
- [14] КОСТЕРИН А. В., ЛЕБЕДЕВ П. Н., СКВОРЦОВ Э. В. Фильтрация в призабойной зоне нефтяного пласта с аномально высоким пластовым давлением. *Инж.-физ. журн., 71, №4, 1998, 237–240.*
- [15] ПРУДНИКОВ А. П., БРЫЧКОВ Ю. А., МАРИЧЕВ О. И. *Интегралы и ряды. Специальные функции.* Наука, М., 1983.
- [16] НОВАЦКИЙ В. *Теория упругости.* Мир, М., 1975.
- [17] МИТЧЕЛ Э., УЭЙТ Р. *Метод конечных элементов для уравнений с частными производными.* Мир, М., 1981.

*Поступила в редакцию 30 июня 1998 г.
в переработанном виде 1 декабря 1998 г.*